



SPIDER開発を通して観たデジタル 画像処理アルゴリズムの現状 (6)

—— 画像処理アルゴリズムの基本構造の分析 ——
田村秀行 坂上勝彦 橋矢直和 (電子技術総合研究所)

1. はじめに

ここ数年、画像処理研究の中で、画像処理向きハードウェア^[1]やソフトウェア^[2]に関する研究の占める割合が急増している。メモリやプロセッサの低廉化により、画像処理特有の並列演算を高速に実行するプロセッサやそのための専用言語の開発が盛んである。^{[3], [4]}

しかし、これらのプロセッサのほとんどは、理想的な2次元並列演算に徹するか、典型的な近傍演算や濃度階調変換等をいくつか具備しているにすぎない。複雑な画像処理・認識の過程をこれらのモジュールの組合せだけで表現するにはかなりの無理がある。その意味では、画像処理に必要な演算モジュールやデータ形式に関してはまだ十分な検討がなされていない。

我々は、代表的な画像処理アルゴリズムを収録した、ソフトウェア・パッケージ SPIDER^[5]を世に向うた。同時に、主要な分野についての一連のサービスを行なった。^[6] そこで、アルゴリズムの選択と解説は、手法の機能にのみ注目した。即ち、SPIDERはソフトウェアとして自由な発想に基づくアルゴリズムの集積であり、実行形式の観点から全く無作為抽出のサンプル集合である。従って、SPIDERを分析することによって、多様な画像処理アルゴリズムの基本構造を解明でき、体系化に有用な情報を得ることができる。

実行形式面からの分析としては、これまでに鳥脇の画像処理アルゴリズム論^{[7], [8]}がある。我々のSPIDER分析は、これを踏襲し発展させるもので、特に高速プロセッサと専用言語設計の基礎を与えることを目的としている。

2. 引数の機能的分類

2.1 引数の分類意義

SPIDERでは、プログラムの移植性を高めるため、各FORTRANサブルーチンに対して、COMMON領域の使用を禁じ、情報の伝達はすべて引数を経由している。このため、各サブルーチンの Calling sequence は、

```
CALL HGEQ1(IP,JP,ISX,ISY,HST0,HSTN,NGRO,  
           NGRN,JTBL)  
CALL FFTA2(AR,AI,BR,BI,WR,WI,ISX,ISY,ISXF,  
           ISYF,WST,WCT,IBR,ISMF,INV,JERR)
```

のように長くなり、使いにくさの一因ともなっている。

しかし、反面あらゆる情報がここに集約されているので、これを分析・分類することにより、プロセッサや言語設計上の要めとなる概念が得られるよう。特に、

- (1) 機能的分類を行うことにより、画像処理に固有なデータ型や、ハードウェア構成上の基本要素が判明する。
- (2) 各々のデータ型の表現形式や拘束条件を整理することにより、デフォルト設定やモジュール間の整合性検証が容易になる。

2.2 画像の大きさと濃度レベル

SPIDERサブルーチンの引数が多い最大の原因是、汎用性を高めるため画像の大きさと濃度レベル数を可変とし、画像(及び関連する)配列を整合配列としたことである。

以下では、画像 $F = \{f_{ij}\}$ の大きさとレベル数について次の記号を用いるものとする。(Fはいざれも省略できる)。

$$\begin{aligned} \text{画像の大きさ(標準点数)} &= (I_{sx}, I_{sy})_F \\ \text{ここで, } I_{sx}(F) &: \text{水平方向の大きさ} \\ I_{sy}(F) &: \text{垂直方向の大きさ} \\ \text{濃度レベル数} &= N_{gr}(F) \end{aligned}$$

* 特に断らない限り、他の記号は文献[7], [8]に従うものとする。

表1. 引数の分類結果

(a) 画像データ

濃淡画像(整数,実数), 2値画像, 3値
画像, 方向画像, 距離画像, ラベル画像,
半しきい値画像, 確率ベクトル画像, 複素
画像, その他.

(b) 中间形式

- <1-D> 濃度ヒストグラム, 差分ヒストグラム,
断面, 投影, その他.
- <2-D> 2次元ヒストグラム(Hough変換, 同時
生起行列, ランレングス行列), 7-リエ変換像,
パワースペクトル, パワー分布, 7-リエ記述子,
その他.

(c) 被演算子

幾何学的変換の係数, 阶調変換テーブル,
テンプレート, 重み係数, 点拡がり関数, 空間
周波数フィルタ, その他.

(d) 演算領域の指定

実際, 入力画像から (Isx, Isy) , Ngr が決まると
処理結果や中间結果の配列の大きさはこれに
応じて決ることが多い。そこで、

- $\leftarrow \square_F$: 画像Fの大きさに依存する
- $\leftarrow L_F$: 画像Fの濃度レベル数に依存する
- $\leftarrow \square_F$: 画像Fの大きさと濃度レベル数の両
方に依存する。

という記法を用いる。 (Isx, Isy) と Ngr は,
画像についての基本概念であり,これを媒介
として他の引数を分類することにより, サブ
ルーチン間の整合性や階層性を把握し易く^{なる}。

2.3 機能的分類

既に, SPIDER仕様において判読性を高
めるため, 引数名や入出力の別などが決め
られている(マニュアル^[9], pp. I-8 ~ I-9 参照).
これを一步進めて検討し, 最終的には表1の
分類を得た. 以下に, 各項目の概念と意味
を述べる([]内は関連主要サブルーチン名).

(a) 画像データ

入/出力, 正/負, 整/実数の別は問わず;
空間領域を標本化した2次元配列で, 処

密領域, マスク領域.

(e) 要素属性表

輪郭点座標列, テーン符号列, 曲率テー
ブル, 連結成分の特徴量(面積, 周囲
長など), その他.

(f) スカラ・パラメータ

しきい値, 繰り返し回数, 点の座標, テク
スチャ特徴, 相関係数, その他.

(g) スイッチ

連結数指定, 断面をとる方向(X or Y)指
定, ラプラシアンの種類指定, その他.

(h) 作業領域

反映演算において入力画像を保存するため
に必要な領域, ラベルの一覧表作成用,
SIN/COSテーブル, その他.

(i) エラー・コード

理論で対応した画素の概念をもつものとす.
従って, 同じ入力画像の処理結果でも, 境界
抽出結果の線画[BDR41]やラベル画像
[CLAB]は画像であるが, 7-リエ・パワー
分布像は原画像の画素との明確な対応
がないので, 画像ではないと考える.

(b) 中间形式

画像データを処理して得られる (a) でない配
列で, 画像特徴を保存したものとす. 特徴
量(スカラー)は, このデータをさらに変換処理し
て得られると言える. ヒストグラム($\leftarrow L$) [H
IST] や断面($\leftarrow \square$) [CRSS] のように, 配
列の大きさが入力画像データで決定されるもの
と, Hough変換面[ETDH1]のように別途
パラメータ指定するものとがある.

(c) (画像以外の) 被演算子

画像演算の種類・機能により決定される
被演算子で, (a), (b)以外の配列として
表現されるものを考える. 配列の大きさは,

- (i) 演算により決定され固定
- (ii) 入力画像の (Isx, Isy) , Ngr に依存
- (iii) ユーザの責任で指定

の3つに大別できる. 各々の代表例は, (i)

アフィン変換の係数 [ACOE, AFIN1], (ii) 濃度階調変換テーブル [HTBL1, GTRN1], (iii) マッピング用のテンプレート [SSCA1] である。

3×3近傍演算などは, Sobel [EGSB1], Kirsch [EGKS1] のように種類を決定することにより演算子としてプログラム内に埋め込まれるが,これを任意サイズに一般化する [FLWL1] と (iii) の被演算子として引数扱いになる。

(d) 演算領域の指定

入力画像の一部だけを処理するものとして, ウィンドウ処理とマスク処理(図1)を考えた。ウィンドウ(窓)は (c), マスクプレーンは (a) の一種とも考えられるが, 画像処理に特有の概念として別扱いにする。

(e) 要素属性表

画像内に含まれる要素(または成分)の属性を記憶する表で, その大きさは要素数で決定される。閉曲線の座標列 [FECC] のように各要素が要素となる場合や, 連結成分の面積 [AREA1] のように領域が要素となる場合がある。いずれも, 画像データの内容に依存するため, 最大数を予測して大きめの表を確保する必要があり, 枠内にいくつ要素である。

(f) スカラ・パラメータ

変数の値自体がアルゴリズムに重要な意味をもつ(いわゆる)パラメータである。しきい値 [THDS1] やテクスチャ特徴量 [COF] など, 種々のものがあるが, 膨大な数になるので, 特にこれ以上は分類しない。

(g) スイッチ

スイッチなる引数 (ISW, ITYPE 他) によってサブルーチンの機能を適当に選択できる。その中には,

- (i) 別途サブルーチン化するほどではないアルゴリズムの変型を選択するためのもの [AFIN1, BDFL1 の NC],
- (ii) デフォルト・パラメータを何種類か選択するためのもの [EGLP, RXLN],
- (iii) 同じ入力データから算出する値(特徴量)の種類を選択するためのもの [COF, HGF], などがある。

ユーザの責任で選択すべきものであるが, 先行するサブルーチンに依存するものも多い。例えば, THDS2 で計算したしきい値を使って SLTH1 で 2 値化するときは ISW=1, 4 に限定される。また連結数 NC は首尾一貫させる必要のあることが多い。

(h) 作業領域

本質的には (a) ~ (e) に属するものでも, 入出力で意識する必要のないものを作業領域という。下位のサブルーチンでは意味のあるデータについて上位のサブルーチンではその内容に責任をもつ必要のないことがある。この場合, 上位のサブルーチンでは作業領域として扱われる [HGEQ1]。

(i) エラー・コード

マニュアル^[9]で述べた以上の議論は行わない。

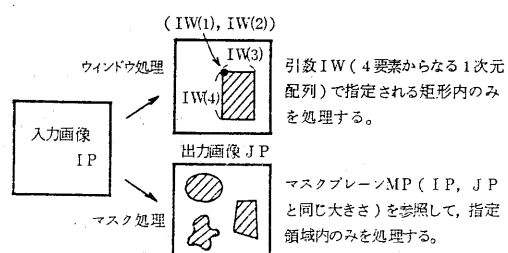


図1 ウィンドウ処理とマスク処理

3. データの表現形式

ここでは, 2. で分類した (a), (b), (c), (e) について, SPIDER サブルーチン群に現われる代表的なデータ型を整理する。これらは, いずれも画像処理演算に特有の概念の表現であり, 専用言語における型宣言の候補となるものである。

例えれば, 通常, 処理の対象となる原画像は, (時に実数演算を必要としない限り) 非負の 2 次元整数配列として表現される。これに何らかの処理が施されると, 非負という制限がなくなる。一般的には, 逆に 2 値化 [SLTH1] とか領域分割 [LRMRG1] といったアルゴリズムの種類によって, 出力のデータ形式は各々 2 値画像とラベル画像に現

表2. 画像データの代表的な表現形式

画像データ	意味・内容	数値型	入力	出力
濃淡画像		整数 [$0, N_{gr}-1$] 実数 実数	HIST1 ADDP1I ADDP1R	HGEQ1 ADDP1I ADDP1R
方向画像	gradient エッジ方向 k -曲率 [$k=1, 2, \dots$] k -傾き [$k=1, 2, \dots$]	整数 [$0, 7$] 実数 ($-\pi, \pi$) 実数 ($-\pi, \pi$)	— ETOC1 —	EGRS2 EGPW2 CVK11 CVK11
距離画像	距離度換 [$N_c^{*2} = 4, 8$] 重みつき距離度換 [$N_c = 4, 8$] 輪郭点の重心からの距離度換 [$N_c = 4, 8$]	整数 (≥ 0) 実数 (≥ 0)	— — —	DIST DIST CVC1
ラベル画像	連結成分 [$N_c = 4, 8$]	整数 [$0, N_r^3$]	CRCL1	CLAB
領域分割		整数 [$1, N_r^4$]	AREA1	RMRGZ
2.5値画像	0: 背景, 1: 図形	2値 {0, 1}	CLAB	SLTH1
3値画像	0: 背景, 1: 図形(1), 2: 図形(2)	3値 {0, 1, 2}	—	BDFL1
半しきい値像	0: 背景, 正整数: 図形	整数 [$0, N_{gr}-1$]	DIST	CLIP
ラベル確率像	[ラベル番号]	確率値	RXL1	RXLN
複素画像	実部/虚部	実数	FFTAZ	FFTAZ

*1 入力画像の場合は手で決められることが多い。階調変換処理の出力画像の場合は度換テーブルの型から決まる。 *2 連結性。 *3 データの成分数に依存。
*4 データの順序数に依存。

表3. 中間形式の代表的な表現形式

中間形式	意味・内容	数値型	配列の大きさ	入力	出力
ヒストグラム	濃度 差分統計量 [変位 (N_x, N_y)]	確率値 ”	$N_{gr}(F)^*$ $N_{gr}(F)$	THDS2 HGF	HIST1 DSTT1
差分ヒストグラム	Local extrema (水平/垂直) 一般 [下限値, 上限値, 区間数]	” 度数(実数)	$N_{gr}(F)$ $N_{gr}(F)$	LEXF NOHTIR	LEXRZ STAS1
2-Dヒストグラム	正差分/負差分 Hough変換用 θ -P	度数 (≥ 0) 重み付き度数 (N_a, N_p)	$N_{gr}(F)$ $(N_{gr}, N_p)_F$	— —	DHST1 ETDH1
断面	同時生起行列 [変位 (N_x, N_y)] ランシングス行列 (4方向) 一般 [下限値, 上限値, 区間数] X方向 / Y方向	確率値 度数(整数) 度数(実数) 整数	$(N_{gr}, N_p)_F$ $(N_{gr}, Max(I_{sx}, I_{sy}))_F$ (N_a, N_b) $I_{sx}(F)/I_{sy}(F)$	COF RLF — —	COMX1 RUNL STASZ CRSS
投影	”	”	”	—	PROJ1
フーリエ変換	実部/虚部	実数	$(I_{sx}, I_{sy})_F$	FFTAZ	FFTAZ
WH変換	Walsh/Hadamard ordering	”	”	WHT2	WHT2
Haar変換		”	”	HAR2	HAR2
離散的COS変換		”	”	DCF2	DCF2
Slant変換		”	”	SLT2	SLT2
パワースペクトル	フーリエ変換 Walsh/Hadamard ordering	” ”	” ”	FLOG —	FPWC WWHPZ
パワー分布	半径一角度 半径方向 角度方向	” ” ”	(N_a, N_b) N_a N_b	— — —	FPWP1 FPWP2 FPWP3
閉曲線のフーリエ展開 自己回帰モデルの重み係数		”	N_f $(2M+1, 2N+1)^{**2}$	TXLE3	FECC TXLE2

*1 入力濃淡画像。 *2 M, N は TXLE1 で決められる値。

表4. 被演算子の代表的な表現形式

被演算子	意味・内容	数値型	配列の大きさ	入力	出力
階調変換テーブル	等化/双曲線/一般	整数 [0, Ngr-1]	Ngr(F)	GTRN1	HTBL1
テンプレート	整数	(Ix, Iy)	SSCAT	—	—
重み係数	〃	(Iwx, Iwy)	FLWL1	—	—
点・拡がり関数	実数	(Ia, Ib)	CLSF	—	—
〃	〃	(Isx, Isy)F	WLEN	—	—
アフィン変換係数	〃	6	AFINT	ACOE	—
Z次非線形変換係数	〃	12	NOLN1	—	—
空間周波数フィルタ	〃	(Isx, Isy)F	MULP1R	FWS1	—

* 任意に設定可能。

表5. 要素属性表の代表的な表現形式

要素属性表	意味・内容	数値型	配列の大きさ	入力	出力
連結成分の特徴量	面積	整数 (>0)	Nr(L) ^{*1}	RGED1	AREA1
重心	〃	(Z, Nr(L))	CVC1	CGRV1	—
周囲長 [Nc=4.8]	〃	Nr(L)	R&ED1	PRMT1	—
サイズ [Nc=4.8]	実数	〃	—	SIZE1	—
円形度 [Nc=4.8]	〃	〃	—	CRCL1	—
モント(重心/主軸まわり)[次数]	〃	〃	—	MMNT1	—
世帯点座標	整数 (>0)	(Z, Nr(L))	AREA2	STPT1	—
升接長方形の座標	〃	(4, Nr(L))	AREA3	CQLT1	—
輪郭点の特徴量	座標列(端点指定) [Nc=4.8]	〃	(Z, Np ^{*2})	COCO	BDFL1
	〃	実数 (>0)	〃	FECC	—
	〃 (全圆形) 〃	整数 (≥ 0)	〃	—	BDFL2
	〃 (ラベル指定) 〃	整数 (>0)	(Z, Mxp, Nr(L)) ^{*3}	CVK3	BFLT1
	エイン符号列 [Nc=4.8]	整数 L1, 8]	(Mxp, Nr(L)) ^{*4}	CVK3	BFLT1
	重心からの距離値	実数 (≥ 0)	〃	CVC2	—
	K-曲率 [k=1, 2, ...]	実数 (-L, L)	〃	CVK21	—
	K-傾き [k=1, 2, ...]	〃	〃	CVK21	—

*1 入カラベル画像の連結成分数。 *2 データの輪郭点数に依存。

*3 データの連結成分の最大輪郭点数に依存。

*4 索引的付情報として各連結成分の輪郭点数を示す表が付属する。

定されることも多い。

分析の結果は、表2～表5に示した。各表では、各々のデータ型式が意味・内容、各配列要素のとる数値の型と範囲、配列の大きさと入力画像への依存性（表2については、すべて $\leftarrow \square$ なので省略した）、入力・出力としてこのデータ型式を必要とする代表的なサブルーチン名が記されている。

画像処理向きに列举したこれらのデータ型には、この表には明確に述べられていない拘束条件や意味が含まれている。例えば、ラベル画像は非負の整数値2次元配列の一種で

あるが、(i) 各連結成分内の全画素に同じ番号(ラベル)が割り当てられ、(ii) 連結していない領域に同じ番号が付けられるとはない、といった条件を暗黙のうちにもっている。また、ヒストグラムに関して、確率値を要素にもつもの（正規化ヒストグラム）では、全配列要素の値の和は1となるはずである。

2. でも触れたように、これらのデータ型の大半部分は、扱う画像の(Isx, Isy)とNgrに依存した大きさの配列である。表2～表5で、特にこの依存性を明記していないものは、ユーザの責任で決定すべきものである。

画像処理アルゴリズム間の整合性については、コレでデータ型とその大きさの制限を照合すればよい。データ授受の実例については、6. で述べる。

表2～表5に示したデータ型式は、現在の SPIDER から代表的なものを列挙したにすぎないので、画像処理に必要なものの全てを網羅した訳ではない。また、これらのデータ型式の中にも、階層性や相互関連がある。これを再整理するのは次の課題である。その際には、SPIDER ではまだ手扱いがかったデータ構造も含めて検討する必要があろう。即ち、時系列画像やマルチスペクトル画像等の多次元画像、ピラミッドや quad-tree などの階層的データ構造の表現形式も重要な要素である。

4. 画像処理アルゴリズムの形態

従来の画像処理アルゴリズム論^{[10]～[12]} は、ほとんどが並列型の近傍演算を中心としたもので、その他実行形式については、ほとんど議論がなされていない。ここでは、より一般的な立場から画像処理アルゴリズムの形態を眺め、特に逐次型について考察を試みる。

4.1 アルゴリズムの実行形式

(1) 917°1：点演算 vs 近傍演算

文献[8]の定義に従う。(特に断らない限り、以下同様)。大局処理の定義は明確ではないが、7-リーフ变换[FFTAZ] やアフィン変換[AFINT] のように、一定の近傍の範囲にとどまらない画素をアクセスするものを指す。

(2) 917°2：並列型 vs 逐次型

概念的には、必ず理想的な並列型があり、その他のもの全てを逐次型とする。Hilditch の細線化法[THNG1]は、点削除の条件に並列型と逐次型を併用しているので、全体としては逐次型と呼ぶべきである。

(3) 917°3：一様走査 vs 非一様走査

予め定められた順序に従って、ある特定の範囲内の全点を処理する方式を一様走査、入力画像や他の条件によって走査順序が変化するものを非一様走査と呼ぶ。

表6. 画像処理アルゴリズムの形態

			代表例
点	並列	一様	単純な濃度階調変換[LHGEQ1, LOG], 2値化[SLTH1, CLIP], 画像均演算[ADDP1I, SUBP1I] 等多数。
		逐次	同一濃度の細分化を行なうヒストグラム演算[LHGEQ2, HGHYZ]
	並列	非一様	SPIDER に該当例なし。
		一様	微分処理[EGLP, EGPW1], 平滑化[EGPR, ITEN1], 波緩和[RXLN, RXEG] 等多数
		逐次	ヒステリシス・スムージング[HYSM1, HYSM2] 連結成分ラベル付け[CLAB], 領域分割[RMRG1, RMRG2]
	非一様		ヒューリスティック・サーチ[EFMA] 画像の重ね合せ[SSCAZ, CORRZ]

一様走査で最も一般的なものは、水平ラスター走査であるが、予め定まっていれば、らせん線状等でもよい。ラスターと逆ラスターの切替えや、水平・垂直ラスターの切替えも、予め定まっていれば一様である。前述のウインドウ処理やマスク処理も一様走査の一変形と考える。

並列演算は、本質的に走査の概念をもたないが、計算機等での実行上は一様走査で実現される。結局、逐次型処理にのみ、一様と非一様の区別があり、これが文献[8] (b)式の $\{j_1, j_2, \dots, j_{ip}, j_p\}$ を決めるところになる。

$\{917°1\} \times \{917°2\} \times \{917°3\}$ の組合せについて、SPIDER での代表例を表6に示す。通常、点演算はすべて並列型と考えられていることが多いが、逐次型(一種の履歴処理)の点演算も存在することに注意されたい。

(4) 附加形式：反復演算と分割処理

各々、917°1～3 の演算形式と独立に設定することができる。

4.2 実行上の諸性質

ここでは、走査順序、演算回数、処理結果等が前述の演算形式によって受けける影響、大半の節約等について論じる。

(1) 始点・回転依存性

非一様走査(i.e. 逐次型)では、処理の開始

点の選び方によって、実行上違いがあることが多い。これを始点依存、そうでないときは始点独立といふ。2値画像の境界追跡 [BDFL1] は、走査順序(次に選ばれる点)は始点依存であるが、演算回数と処理結果は本質的に始点独立である。一方、SSDA法ではすべてが始点依存である。

ラスター型一樣走査の始点と方向の選択は、入力画像を 90° の倍数分回転したいたい。 (厳密には鏡像関係も含む)。従ってこの場合の諸性質の依存性を 回転依存 / 回転独立 と呼ぶ。並列処理の演算回数は常に回転独立であるが、近傍演算で条件が逆称でない場合には処理結果が回転依存となる。非対称性の強い SRNK1 や反復ごとに条件互換える THNG3 がその例である。逐次処理ではむしろ回転依存の方が普通であるが、最大値 / 最小値 フィルタ [FMAX, FMIN] や連結成分のラベルづけ [CLAB] では、処理結果は(ラベルの値を除いて)回転独立である。

(2) データ依存性

処理結果がデータ依存であるのはいつもでもない。走査点順序は非一樣処理なら明らかにデータ依存である。従って、データ依存性(文献[8], p.14)は演算回数について論じる。2. 及び3. で述べた要素属性表に関連する処理は一樣 / 非一樣にかかわらずデータ依存である。その他では、一樣走査の演算回数(処理時間)はデータ独立であることが多いが、文献[8]での指摘通り、収束条件をもつ反復演算はデータ依存となる。

(3) 画像配列の節約について

プロセラム内の画像用配列や専用プロセッサが扱うフレームメモリを節約するために、入出力配列を兼用したいことがある。一般には、点演算では兼用可能、並列近傍演算では不可能である。逐次近傍演算は、むしろこの入出力配列兼用のため考案されたとも言えるが、前述の THNG1 のように一樣走査途中に並列条件を含むと兼用不可能となる。

反復演算を含む場合については、マニュアル [9] の4.3節に詳述したので省略する。

4.3 逐次型処理の意義

並列処理、特に並列型近傍演算は、画像処理の典型的な演算であるため、高速プロセッサ設計もほとんどこれに照準を合わせている。一方、逐次型処理は、上記の検討でも分かるように、種々複雑な性質を有する原因であり、現在の専用プロセッサではほとんど高速処理することができない。

しかし、ハードウェアの制約から離れて開発された SPIDER では、色々凝ったアリテクチャを駆使して逐次型処理を見つけ出すことができる。以下で、逐次型処理が採用される意味を考察する。

(a) 履歴の利用 —— 逐次型処理の本質ともいって過去の処理結果を積極的に利用するもので、ヒストリシス平滑化 [HGHY1] や濃度レベル細分化を行なう階調変換 [GTRNZ] がこれに相当する。また、履歴自体に本質的意味はないが、処理過程の中間記憶(ヒストグラムなど)を利用して高速化を図っているもの [FMAX, MEDI] もある。

(b) 追跡・探索型 —— 既に見つかっていろ点を利用して線追跡を助けるもの [BDFL1, EFMA] (履歴利用の一例) や、計算時間の節約のために探索の候補を絞るものの [SSCA1]。

(c) 成長・統合型 —— 発想としては並列型であるが、インプリメンテーションのし易さから逐次型を選んでいるもの [RMRG1, 2]。

(d) 消滅の防止 —— 成長とは逆の発想で領域を削って行くとき、並列型では連結成分が消滅するので、これを防ぐ。縮退化 [SRNK4] や細線化 [THNG1] が利用されている。一方、SRNK2 や THNG4 は反復をサブサイクルに分けることにより、並列型を保持している。

(e) 要素依存性の解消 —— 連結成分のラベルづけ [CLAB] は、並列型で実行する成長型の演算と並列成分の数に依存するため、2回の一樣走査でこれを解決している。距離変換 [DIST] では、並列型では距離の最大値だけの反復を要するのを、巧妙な逐次処理により解決している。

(f) 画像配列の節約 —— 4.2 の(3)で触

れた使用法。上で述べた、いくつかの方法は同時にこれも達成している [FLWL2, FMAX, SRNK4]。

5. 高速プロセッサとアルゴリズムの適合性

この章では、並列型アルゴリズムを中心に、画像処理用高速プロセッサとの適合性を検討する。

典型的な高速プロセッサとして、次の3つを考える。

① CLIP型 —— CLIP4^[13]のように画素に対応する要素プロセッサが同時に近傍演算を実行する完全並列型。

② PPP型 —— 東芝開発のPPP^[14]のように、各画素に対する近傍演算を並列処理できる基本モジュールをいくつかもち、画面の一様走直をハイブライン処理で高速化したもの。

③ AP型 —— いわゆるスーパーコンピュータやアレーパロセッサのように、1次元ベクトル演算をハイブライン処理できるもの。

ただし、ここでいうCLIP, PPPは現存のプロセッサではなく、細部の点では理想化した代表名として使う。以下、SPIDERサブルーチン機能を代替えさせる立場から基本的向是見を考察する。

5.1 一様走直と必要モジュール

一般に、並列型近傍演算は、FORTRANプログラムの形式では、

```
DO 100 J=1,ISY
DO 200 I=1,ISX
:
JP(I,J)= { IP(I,J) に関する }
           { 近傍処理 :  $\psi_{ij}$  }
:
200 CONTINUE
100 CONTINUE
```

なる一回の一様ラスター走直で記述できる。プログラムでは、{ }の中にいかにも複雑な演算を書くことができ、条件による分岐也可能である。右辺にJPの要素を入れると、逐次型処理も実現できる。

CLIP型では、走直という概念がないため、この2重のDOループを意識することなく、{ }を要素プロセッサの単位演算機能に分解して

記述することになる。条件分枝は、通常マスク・プローラン用いて行なう。プロセッサ的には、PAX II^[15]に似た形式となる。

PPP型では、1つの基本モジュールの実行が1回の一様走直に対応する。 $\{\psi_{ij}\}$ が複雑な場合、これを基本モジュールに分解するが、分解された処理結果の合成は2重DOループの外で計算することに等価である。3×3の積和演算やメディアン・フィルタ等、有力なモジュールを具備すれば、プロセッサ内蔵の計算資源は大半に駆使されるが、反面、用意されていない演算には全く対応能力がないので、必要なモジュールや扱えるデータ型式の選択には慎重を要する。

SPIDERプログラムは制約が多く書かれているため、比較的単純なエッジ検出を例にと、ても、tan⁻¹計算 [EGSBZ], 最大出力を与える方向の選択 [EGPW4], 向所連続性の検定 [EGRS3] 等が含まれていて、CLIP型やPPP型への適合は容易でない。

また、CLIP型とPPP型は、完全並列と局所並列の差異あれ、結局、画像内の全点を処理している。SPIDERプログラムでは、多数の近傍マスクを用ひる並列処理 [THNG3, SRNK3等]において、適当な条件判定で不要なマスクの適用を回避している。複雑な近傍演算では、専用プロセッサで実行しても、基本演算の比率ほどは高速化できないことに注意する必要がある。

5.2 1次元分解可能性

AP型プロセッサでの高速処理は、上記の $\{\psi_{ij}\}$ が Iについての近傍からなる時にのみ達成できる。即ち、変数Jについての因子を内側のDOループから排除することに相当し、これを1次元分解（文献[8], p.17参照）といふ。

SPIDERサブルーチンの分析により、次の検討結果が得られた。

- 離散的フーリエ変換をはじめとする一連の2次元直交変換 [FFTS2, WHT2, HAR2等] はいずれも原理的に1次元分解可能で、それが1次元データ用のサブルーチンを用意している。
- ある種の近傍演算 [FMAX, FLWL2等] は

- 1次元分解可能であり、これらをさらに逐次型処理化し、高速化を図っている。
- (c) 1次元への多段分解を行なわない場合でも、 $m \times n$ 近傍を用いる演算では、 n 行分のバッファをもつて1次元処理に帰着できる。通常、AP型プロセッサの利用はこの方式を用いることが多い。
- (d) ヒストリシス平滑化は本質的に2次元版の定義が適当でないため、便宜上、1次元処理へ分解している。しかし、前述のように回転依存である。また、メティアン・アルタも、回転依存である1次元分解版を定義できるが、こちらの方は本質的な2次元版[MEDI]が存在する。

6. 画像処理アルゴリズムの構造分析

SPIDERサブルーチンをいくつか組合せることによって、種々の画像処理手順を実現できる。また、いくつかのサブルーチンでは既に、内部部に下位ルーチンをもつて階層性をなしている。こうしたルーチン間では、2.及び3.で分類・整理したデータが授受されている。画像処理アルゴリズム構造を把握する一助として、図2の記法でサブルーチン間の相互関係を図示することを試みた。

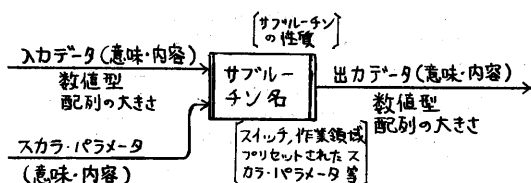


図2. 各モジュールの記法

また、配列要素の数値型や配列の大きさの依存関係と対応関係は、 \rightarrow 、 \leftarrow で示した。

例1：ヒストグラム平坦化 HGEQ1

ヒストグラム平坦化を行なうHGEQ1の構造を図3に示した。この例から分かる特長は次の通りである。

(a) 最高レベル HGEQ1をいくつかの内部

ルーチンが階層的に持っている。

- (b) 入力画像F、出力画像G \leftarrow □、指定出力レベル数Ngrn以外は、各ルーチン間で自動的に必要な引数が授受されている。
- (c) 良いモジュール性が保たれているので、HGEQ1LをHGHY1Lに置換するだけで、ヒストグラム及び曲線化HGHY1が実現できる。

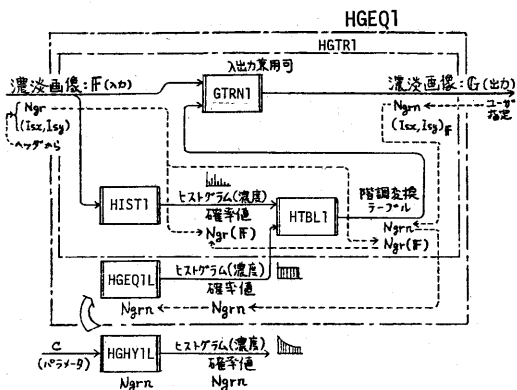


図3. HGEQ1の構造

例2：SSDA法による画像のマッチングSSCA1

画像の高速マッチングを行うSSDA法の中、一定しきい値を用いるサブルーチンSSCA1とその内部ルーチンSSCMOの構造を図4に示した。

一方、傾斜しきい値を用いるSSIA1とその内部ルーチンSSIMOの関係もほとんど同じであるが、同図から分かるように、SSCMOの部分にSSIMOを代入することはできない。なぜならば、傾斜しきい値の決定に必要なパラメータTs, K, Alを与える端子がSSCA1側になく、整合が取れないからである。

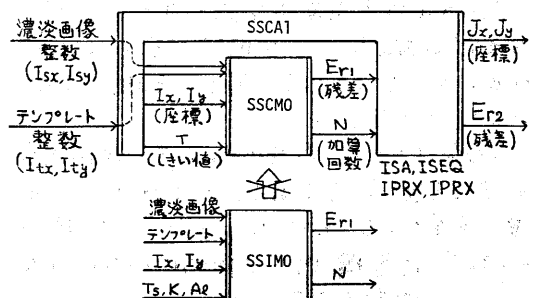


図4. SSCA1の構造

例題3：粒子像計測の処理例

- 次の画像解析手順をSPIDERサブルーチンの結合で実現した例の構造を図5に示す。
- ① 背景と粒子物体からなる濃淡画像のしきい値を決める。
 - ② 自動決定されたしきい値で原画像を2値化する。
 - ③ 2値图形の連結成分をラベルづける。
 - ④ 面積が IAREAより大きい成分のみを抽出し、各粒子の円形度を計測する。

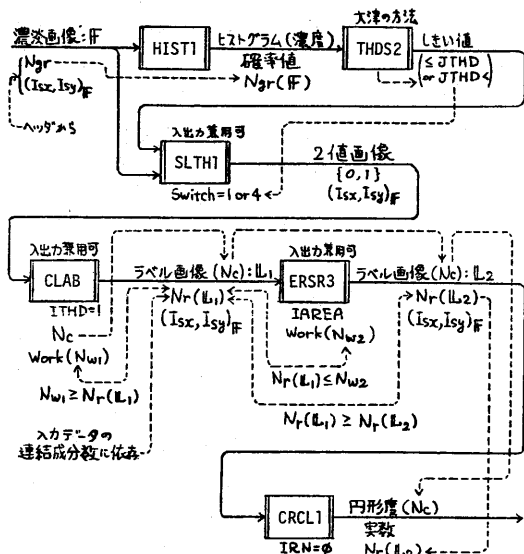


図5. 粒子像計測手順の構造

7. むすび

画像処理サブルーチン・パッケージSPIDERのアルゴリズム及びデータ構造を分析した。SPIDERはFORTRANプログラムの集合であるが、その下位レベルは専用高速プロセッサに、上位レベルは専用高級言語に置き換って行くべきだと考える。この分析・検討は、これらプロセッサや言語設計の重要な基礎になるものと思われる。

本稿はその第一段階であり、まだ分析内容が消化不良の臭味もある。3. 及び4. を再整理、発展させることにより、6. に示した構造分析が、計算機内で自動的に行なわれるシステムの開発を目指している。

謝辞

最後に、本研究に関して有益な御助言を頂いた 国際化研究室長・舟久保 登氏に感謝致します。

参考文献

- [1] 坂上,不戸出, "画像処理プロセッサの最近の動向", 情報会議, CV18-4, May 1982.
- [2] 田村,坂上, "画像処理ソフトウェアの動向—標準化と高級言語の開発", TV学会誌, IPA 59-3, Oct. 1982.
- [3] M.J.B. Duff & S. Levialdi (Eds.), *Language and Architectures for Image Processing*, Academic Press, 1981.
- [4] K. Preston, Jr. & L. Uhr, *Multicomputers and Image Processing: Algorithms and Programs*, Academic Press, 1982.
- [5] 田村,坂根,富田,横井,金子,坂上, "ホーリングル画像処理ソフトウェア・パッケージ SPIDER の開発", 情報会議誌, Vol.23, No.3, pp.321-328, May 1982.
- [6] 特集「画像処理アルゴリズム」, 電気研究会誌, Vol. 44, No. 7/8, 1980.
- [7] 鳥脇,横井, "画像処理のアルゴリズム", 情報処理, Vol. 21, No. 6, pp. 613-619, July 1980.
- [8] 鳥脇,横井, "実行形式面から見た画像処理アルゴリズム", 信学誌報, PRL 81-61, Dec. 1981.
- [9] 画像処理サブルーチン・パッケージ SPIDER Users Manual, 協同システム開発(株), 1982.
- [10] M.J.B. Duff, "The elements of digital picture processing," in *Real Time/Parallel Computing - Image Analysis*(M.Onoe et al. Eds.) Plenum Press, pp.1-9, 1981.
- [11] R.M. Haralick, "Some neighborhood operators," ibid., pp.11-35, 1981.
- [12] S.Levialdi et al., "Theoretical and practical considerations in the application of neighborhood logic to image processing," in Proc. 4IJCP, pp.139-145, 1978.
- [13] M.J.B. Duff, "CLIP4: A large scale integrated circuit array parallel processor," in Proc. 3IJCP, pp.728-733, 1976.
- [14] 木戸出他, "並列画像演算装置PPP", 黄芝レビュー, vol.34, no.6, pp.511-514, June 1979.
- [15] E.G. Johnston, "The PAX II picture processing system," in *Picture Processing and Psychopictorics*(B.S.Lipkin & A.Rosenfeld Eds.) Academic Press, pp. 427-512, 1970.

